

量子計算の古典検証

三菱電機 情報技術総合研究所
情報セキュリティ技術部

JST ACT-X

水谷明博

2022/8/2 耐量子計算機暗号と量子情報の数理

Mahadev, FOCS 2018

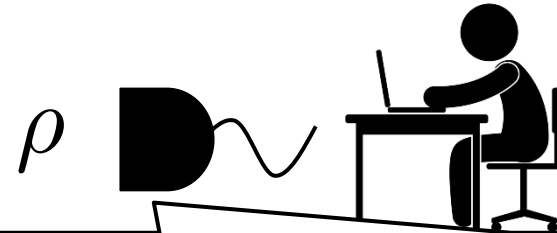
論文 : [\[1804.01082v2\] Classical Verification of Quantum Computations \(arxiv.org\)](#)

動画 : [Classical Verification of Quantum Computations - YouTube](#)

Morimae-Fitzsimonsプロトコルの詳細 (竹内さんのスライド)

[T. Morimae, arXiv:2003.10712]

➤ サーバが送った答えがYESだった場合



1. の確率で、ペア (i,j) 選ぶ。

2. $1/2$ の確率で

$$Z_i \otimes Z_j \text{ or } X_i \otimes X_j$$

を選ぶ。

3. 前者の時は、

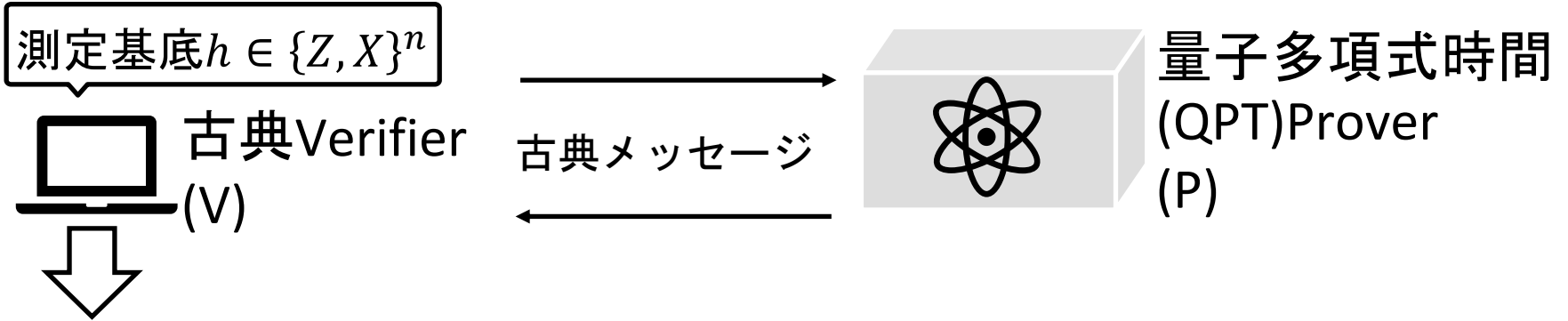
後者の時は、

4. 測定結果の足

**X,Z測定をProverに委託できればOK
(Measurementプロトコル)**

となれば受理する。

Measurement プロトコル




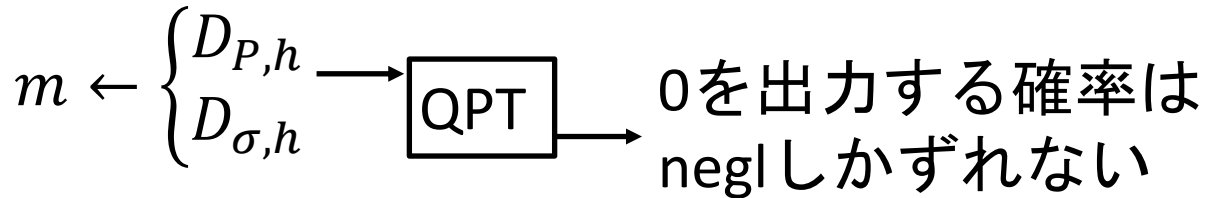
受理
 or
 拒否

m (Vが得るX,Z測定結果)
 $D_{P,h}$ (m の確率分布)

n Qubit状態

$\Pr[VがPを受理]=1 \Rightarrow \exists \sigma, \forall h, D_{P,h} \approx D_{\sigma,h}$

$\sigma \rightarrow$ 



LWE仮定: LWE問題がQPTで解けない

任意のBQPのインスタンス x は2Localハミルトニアン問題に帰着
 $H_x = d_1 IZZI + d_2 IIXX + d_3 IIII$ のエネルギーが高いか低いかを判定

- ① V はランダムに H_x の項を選ぶ $\rightarrow IIXX$ ($h = XX$)
- ② V は量子状態 σ を基底 h で測定し($m = m_1 m_2$)を出力
- ③ $(-1)^{m_1 \oplus m_2} = -\text{sign}(d_2)$ ならPを受理

ポストホック検証プロトコル

量子計算の古典検証プロトコル

任意のBQPのインスタンス x は2Localハミルトニアン問題に帰着
 $H_x = d_1 IZZI + d_2 IIXX + d_3 IIII$ のエネルギーが高いか低いかを判定

- ① V はランダムに H_x の項を選ぶ $\rightarrow IIXX$ ($h = XX$)
- ② Measurementプロトコルを実行し、 V は($m = m_1 m_2$)を出力
- ③ $(-1)^{m_1 \oplus m_2} = -\text{sign}(d_2)$ ならPを受理

ある量子状態 σ を h で測定した分布と区別つかない

Pの答えが正しい場合 :

Measurementプロトコルの σ をhistory stateとすれば
 $\Pr[\text{受理}] \geq 1 - \text{negl}$

Pの答えが正しくない場合 :

任意の σ に対して H_x のエネルギーが高いため
 $\Pr[\text{受理}] \leq \frac{1}{2} + \text{negl}$ ($\frac{1}{2}$ は m を得るラウンドを選ばない確率)

Measurement プロトコルのポイント

$$\Pr[V \text{ が } P \text{ を受理}] = 1 \Rightarrow \exists \sigma, \forall h, D_{P,h} \approx D_{\sigma,h}$$



ハミルトニアンのエネルギーが測れないので古典検証できない

$H_x = \sum_i H_x^i$ のエネルギー $\text{Tr}[H_x \sigma]$ を測るため、ランダムな H_x^i に対応する基底 h で Measurement プロトコルを実行していた。
 $\text{Tr}[H_x \sigma] = \sum_i \text{Tr}[H_x^i \sigma]$

基底 h に依存。
 σ は h 無依存がマスト

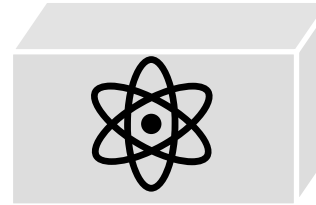
Measurement プロトコル

測定基底 $h \in \{Z, X\}^n$



古典 Verifier
(V)

古典メッセージ



量子多項式時間
(QPT) Prover
(P)

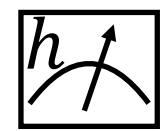
受理
or
拒否

m (Vが得る X, Z 測定結果)
 $D_{P,h}(m)$ の分布)

Part 1

$\Pr[V \text{ が } P \text{ を 受理}] = 1 \Rightarrow \exists \sigma, \forall h, D_{P,h} \approx D_{\sigma,h}$

$\sigma \longrightarrow$



$m \leftarrow \begin{cases} D_{P,h} \\ D_{\sigma,h} \end{cases}$

QPT

0 を出力する確率は
negl しかずれない

Part 2

LWE 仮定 : LWE 問題が QPT で解けない

LWE仮定から関数族 F と G が構成可能

関数族 $F = \{f_{k,0}, f_{k,1}\}_k$

1. **2 to 1:**

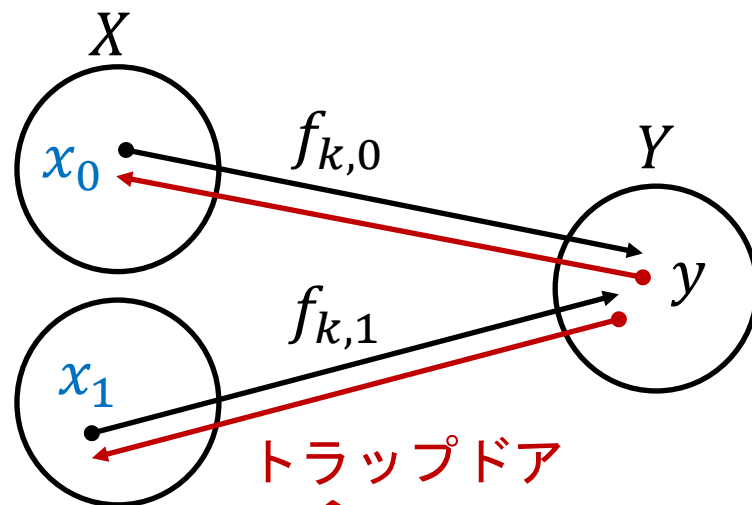
$$f: X \rightarrow Y$$

像 y の原像 (x_0, x_1) が存在して

$$y = f_{k,0}(x_0) = f_{k,1}(x_1)$$

2. **Claw-free性:**

QPT P は像 y から2つの原像
 (x_0, x_1) を求めることが難しい



$$x_b = \text{INV}_F(t_k, y, b)$$

$$b \in \{0, 1\}$$

LWE仮定から関数族 F と G が構成可能

関数族 $F = \{f_{k,0}, f_{k,1}\}_k$

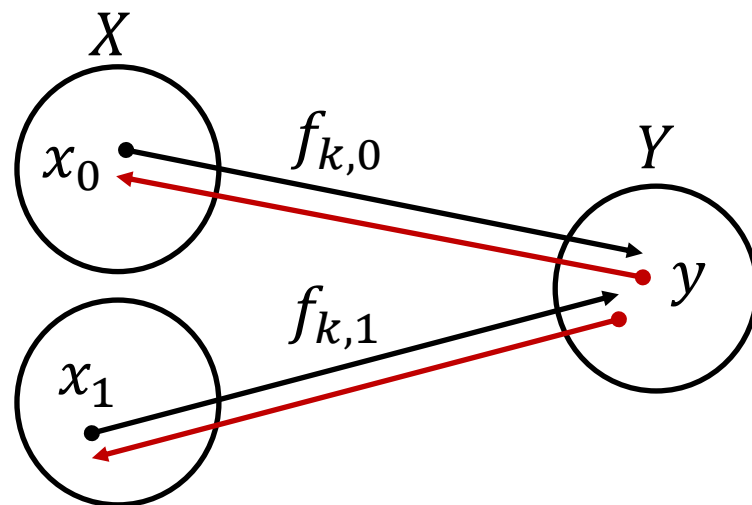
3. Adaptive hardcore ビット性1:

QPT P は公開鍵 k から

$(y, b, x_b, r, d \neq 0)$

を出力することが難しい.

$$y = f_{k,b}(x_b), r = d \cdot (x_0 \oplus x_1) \in \{0,1\}$$



4. Adaptive hardcore ビット性2:

QPT P は公開鍵 k から $d \neq 0$ に対して $r = d \cdot (x_0 \oplus x_1) \in \{0,1\}$ を求めることが難しい

LWE仮定から関数族 F と G が構成可能

関数族 $G = \{g_{k,0}, g_{k,1}\}_k$

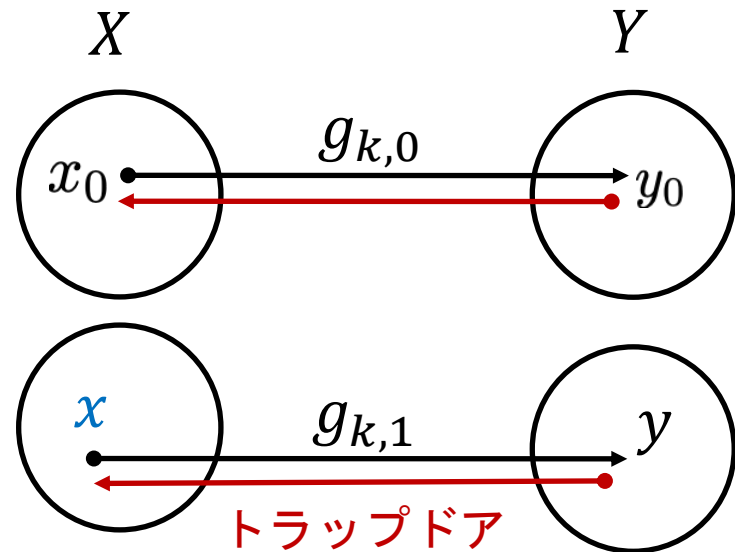
1. 1 to 1:

$$g: X \rightarrow Y$$

像 y の原像 x が一意に存在して $y = g_{k,b}(x)$

2. Injective invariance:

QPT P は公開鍵 k から
 F か G かを識別することは難しい



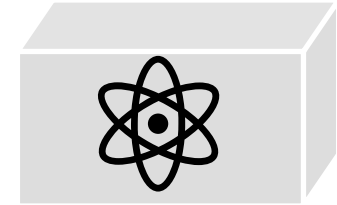
$$(1, x) = INV_G(t_k, y)$$

Measurement プロトコル (with Honest P)

$h = Z \rightarrow k$ とトラップドア t_k を G から生成
 $h = X \rightarrow k$ とトラップドア t_k を F から生成



公開鍵 k



$$|\varphi\rangle = \sum_{b=0}^1 \alpha_b |b\rangle$$

ビット列 y



$$\sum_{b,x} \alpha_b |b\rangle |x\rangle \underbrace{|g_{k,b}(x)\rangle}_{Z\text{測定}}$$

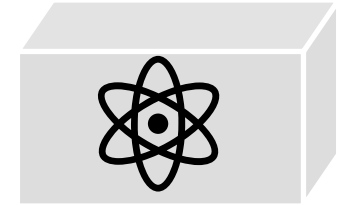
(計算基底の測定)

Measurement プロトコル (with Honest P)

$h = Z \rightarrow k$ とトラップドア t_k を G から生成
 $h = X \rightarrow k$ とトラップドア t_k を F から生成



公開鍵 k



$$|\varphi\rangle = \sum_{b=0}^1 \alpha_b |b\rangle$$

ビット列 y



$$\sum_{b,x} \alpha_b |b\rangle |x\rangle \underbrace{|\mathbf{f}_{k,b}(x)\rangle}_{Z\text{測定}}$$

(計算基底の測定)

Measurement プロトコル (with Honest P)

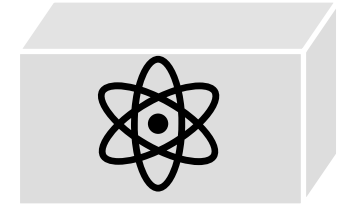
$h = Z \rightarrow k$ とトラップドア t_k を G から生成
 $h = X \rightarrow k$ とトラップドア t_k を F から生成



公開鍵 k



$$|\varphi\rangle = \sum_{b=0}^1 \alpha_b |b\rangle$$



ビット列 y



$$\sum_{b,x} \alpha_b |b\rangle |x\rangle \underbrace{|f_{k,b}(x)\rangle}_{Z\text{測定}}$$

選択 { **テスト**, アダマール }

Z 基底で測定して



$$\sum_{b=0}^1 \alpha_b |b\rangle \underbrace{|x_{b,y}\rangle}_{Z\text{測定}}$$

Z 基底結果 (b, x)



(b, x) が y の正しい原像であれば受理

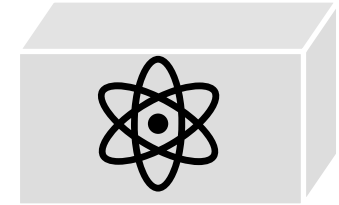
Measurement プロトコル (with Honest P)

$h = Z \rightarrow k$ とトラップドア t_k を G から生成
 $h = X \rightarrow k$ とトラップドア t_k を F から生成



公開鍵 k

$$|\varphi\rangle = \sum_{b=0}^1 \alpha_b |b\rangle$$



ビット列 y

$$\sum_{b,x} \alpha_b |b\rangle |x\rangle \underbrace{|g_{k,b}(x)\rangle}_{Z\text{測定}}$$

選択 { **テスト**, アダマール }

Z 基底で測定して

$$\underbrace{|b\rangle |x_{b,y}\rangle}_{Z\text{測定}}$$

Z 基底結果 (b, x)

(b, x) が y の正しい原像であれば受理

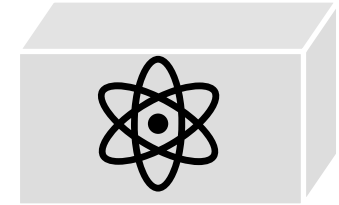
Measurement プロトコル (with Honest P)

$h = Z \rightarrow k$ とトラップドア t_k を G から生成
 $h = X \rightarrow k$ とトラップドア t_k を F から生成



公開鍵 k

$$|\varphi\rangle = \sum_{b=0}^1 \alpha_b |b\rangle$$



ビット列 y

$$\sum_{b,x} \alpha_b |b\rangle |x\rangle \underbrace{|g_{k,b}(x)\rangle}_{Z\text{測定}}$$

選択 {アダムール}

X 基底で測定して

$$\underbrace{|b\rangle |x_{b,y}\rangle}_{X\text{測定}}$$

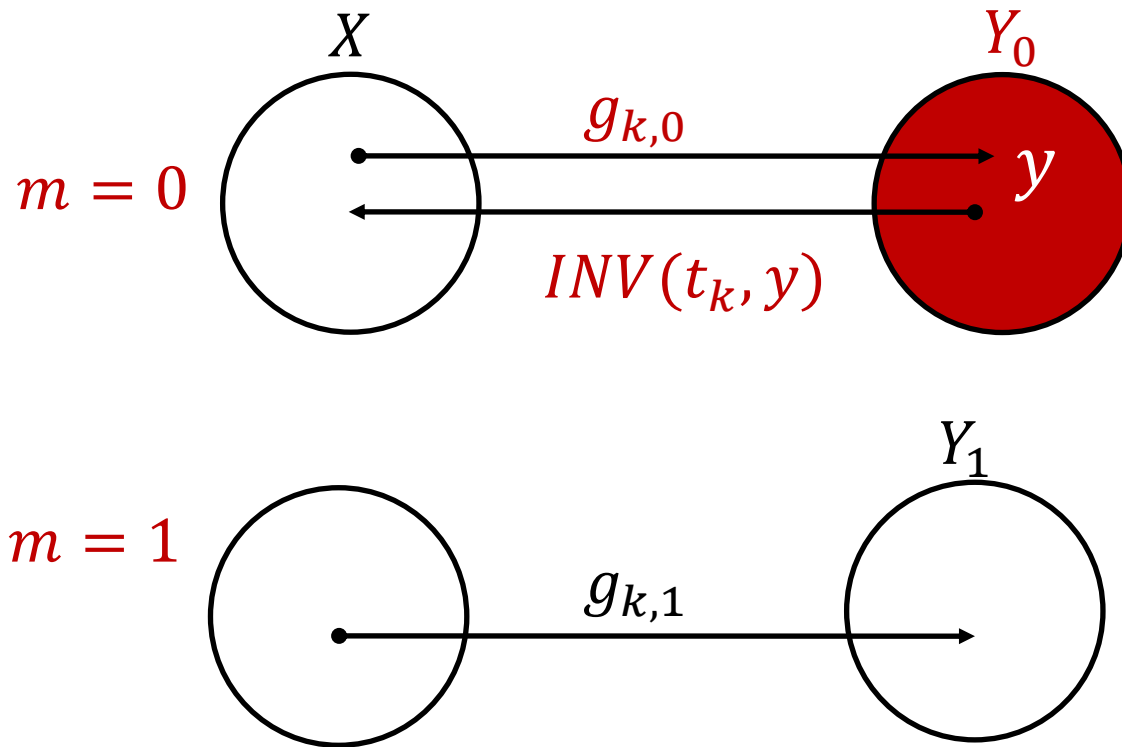
X 測定結果 (b, d)

(b, d) を無視

$(m, x) = INV_G(t_k, y)$
 m を Z 測定結果として出力

$$D_{P,Z}(m=0) = \Pr[y \in Y_0] = |\alpha_0|^2 \\ = D_{|\varphi\rangle,Z}(m=0)$$

関数族 $G = \{g_{k,0}, g_{k,1}\}_k$



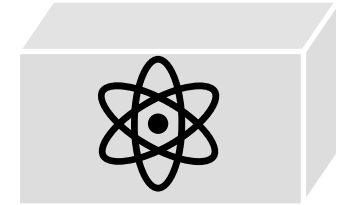
Measurement プロトコル (with Honest P)

$h = Z \rightarrow k$ とトラップドア t_k を G から生成
 $h = X \rightarrow k$ とトラップドア t_k を F から生成



公開鍵 k

$$|\varphi\rangle = \sum_{b=0}^1 \alpha_b |b\rangle$$



ビット列 y

$$\sum_{b,x} \alpha_b |b\rangle |x\rangle \frac{|f_{k,b}(x)\rangle}{Z \text{測定}}$$

選択 {アダムール}

X 基底で測定して

$$\sum_{b=0}^1 \alpha_b |b\rangle |x_{b,y}\rangle \text{X測定}(d)$$

$$m = b \oplus d \cdot (x_0 \oplus x_1)$$

$$\begin{cases} x_0 = \text{INV}_F(t_k, 0, y) \\ x_1 = \text{INV}_F(t_k, 1, y) \end{cases}$$

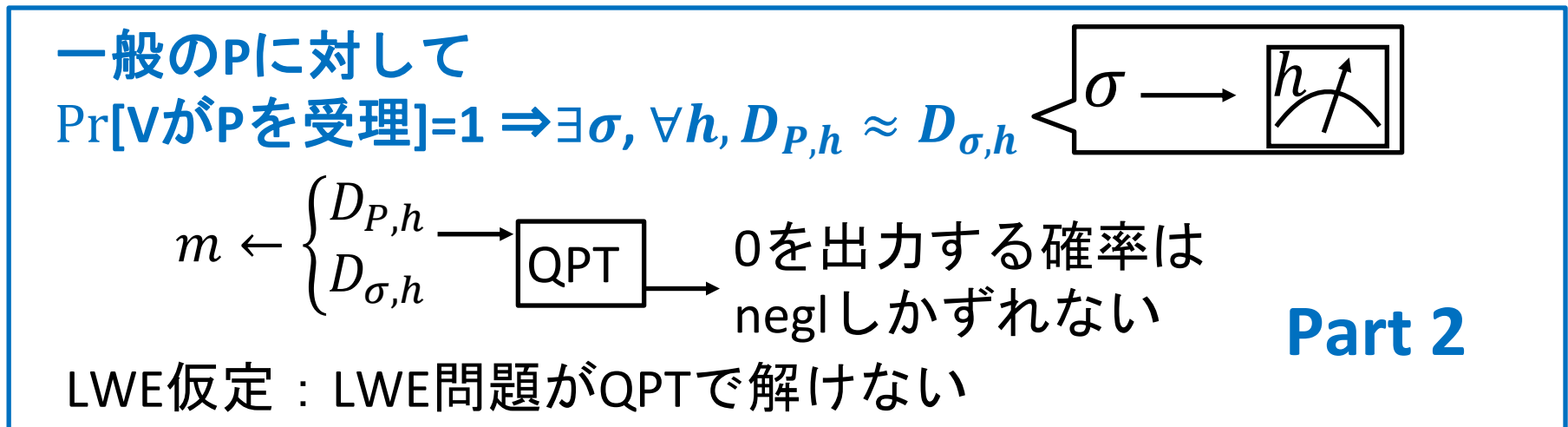
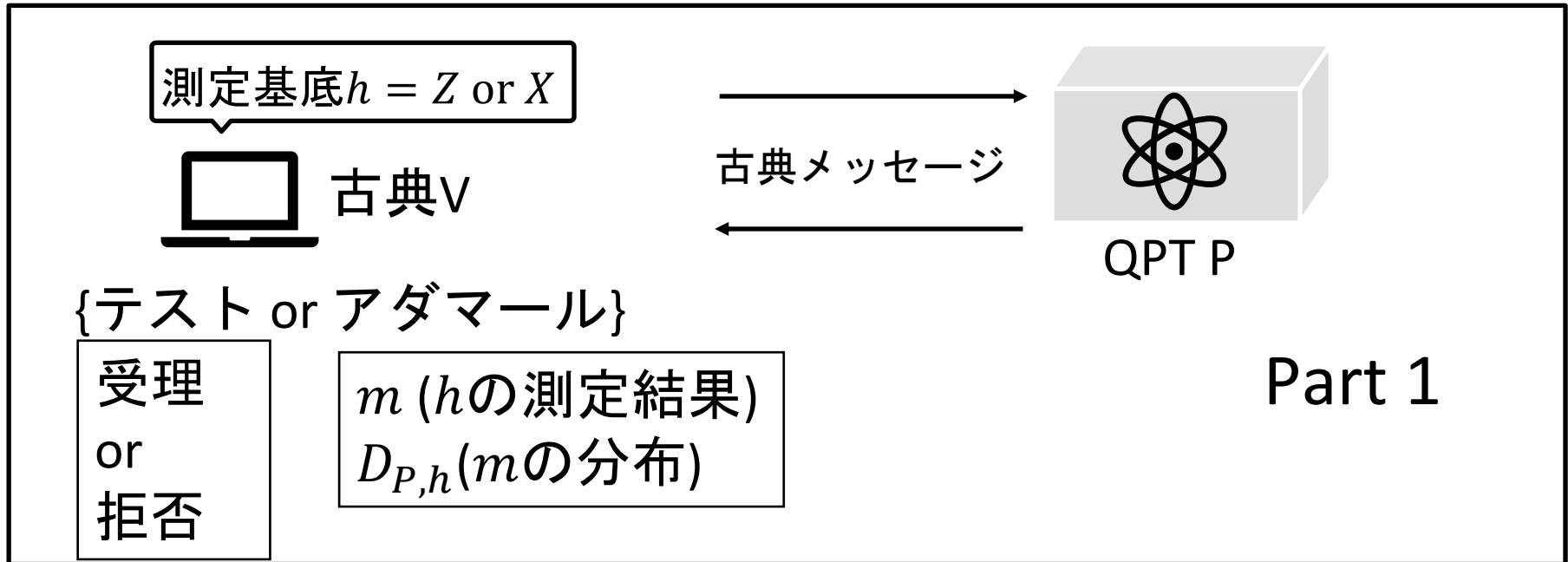
を X 測定結果として出力

X 測定結果 (b, d)

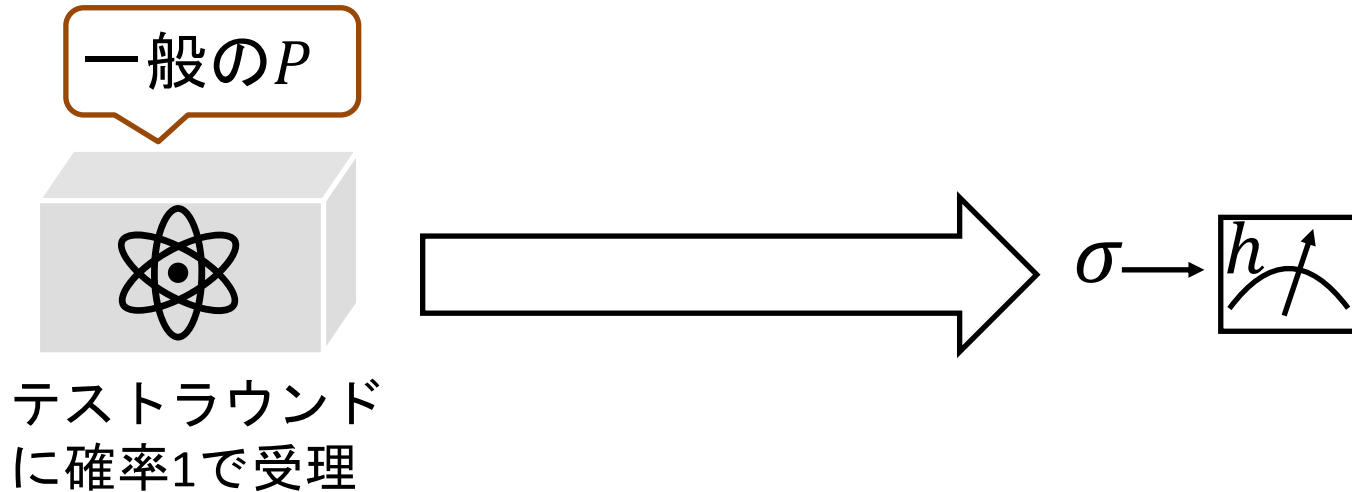
$$\langle b | X^{d \cdot (x_0 \oplus x_1)} H | \varphi \rangle$$

$$D_{P,X} = \Pr[b \oplus d \cdot (x_0 \oplus x_1)] = D_{|\varphi\rangle, X}$$

Measurement プロトコル



Part 2の概略



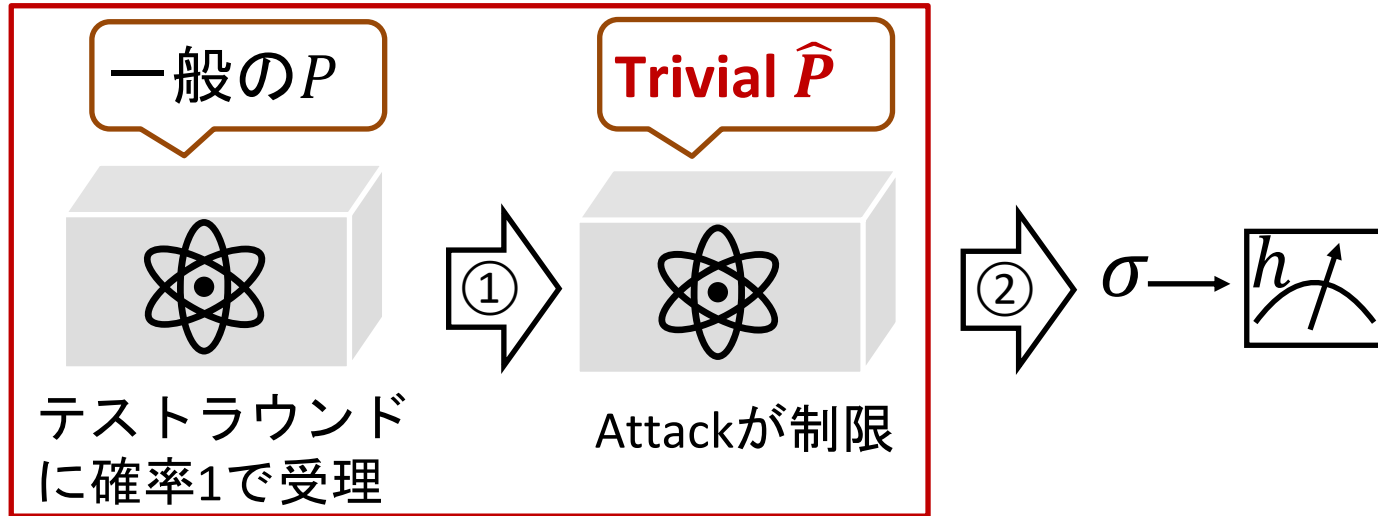
$D_{P,h}$

\approx

$D_{\sigma,h}$

アダマールラウンドで v が
測定結果 m を出力する分布

状態 σ を基底 $h \in \{Z, X\}$
で測定した分布



$$D_{P,h} \approx D_{\hat{P},h} \approx D_{\sigma,h}$$

① 一般の P に対して Trivial \hat{P} が存在して $D_{P,h} \approx D_{\hat{P},h}$

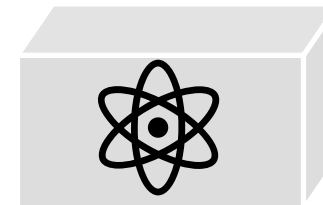
② Trivial \hat{P} に対してある量子状態 σ が存在して $D_{\hat{P},h} \approx D_{\sigma,h}$

一般のPのふるまい (ステップ①)

$h = Z \rightarrow k$ とトラップドア t_k をGから生成
 $h = X \rightarrow k$ とトラップドア t_k をFから生成



公開鍵 k



QPTで作れる任意のユニタリ

$U_0(|e\rangle \otimes |k\rangle)$

ビット列 y (関数の像)

選択 {テスト}

Z基底で測定して

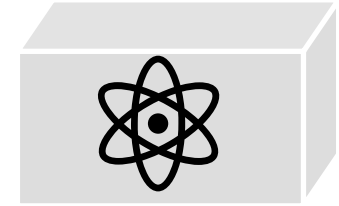
Z基底結果 (b, x) (y の原像)

一般のPのふるまい (ステップ①)

$h = Z \rightarrow k$ とトラップドア t_k を G から生成
 $h = X \rightarrow k$ とトラップドア t_k を F から生成



公開鍵 k



$|b\rangle_1, |x\rangle_2, |y\rangle_3$ を持ち (b, x, y) は Z 測定結果とみなせる

$$U_0(|e\rangle \otimes |k\rangle)$$

ビット列 y (関数の像)

$|y\rangle_3$ を Z 測定

選択 {テスト}

テストラウンドのユニタリ

Z 基底で測定して

U_T をかけて

Z 基底結果 (b, x) (y の原像)

$|b\rangle_1, |x\rangle_2$ を Z 測定

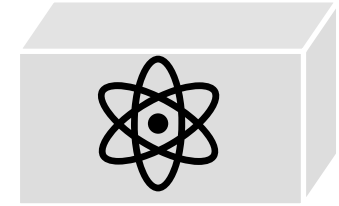
一般のPのふるまい (ステップ①)

$h = Z \rightarrow k$ とトラップドア t_k を G から生成
 $h = X \rightarrow k$ とトラップドア t_k を F から生成

$P \Rightarrow$ 2つのユニタリ (U_0, U)
 で特徴づけられる



公開鍵 k



$U_0(|e\rangle \otimes |k\rangle)$

ビット列 y



$|y\rangle_3$ を Z 測定

選択 {アダムール}

アダムールラウンドのユニタリ

X 基底で測定して



U_H をかけて

X 基底結果 (b, d)



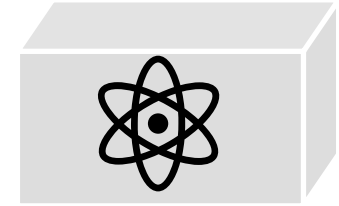
$|b\rangle_1, |x\rangle_2$ を X 測定

一般のPのふるまい (ステップ①)

$h = Z \rightarrow k$ とトラップドア t_k を G から生成
 $h = X \rightarrow k$ とトラップドア t_k を F から生成



公開鍵 k



$U_0(|e\rangle \otimes |k\rangle)$

ビット列 y



$|y\rangle_3$ を Z 測定

選択 { **テスト** }

テストラウンドのユニタリ

Z 基底で測定して



U_T をかけて

Z 基底結果 (b, x)



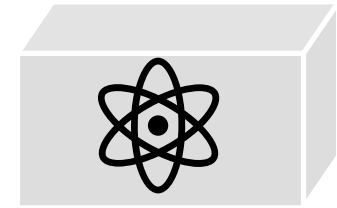
$|b\rangle_1, |x\rangle_2$ を Z 測定

一般のPのふるまい (ステップ①)

$h = Z \rightarrow k$ とトラップドア t_k を G から生成
 $h = X \rightarrow k$ とトラップドア t_k を F から生成

$P \Rightarrow$ 2つのユニタリ (U_0, U)
 で特徴づけられる

$P(U_0, U)$



$U_0(|e\rangle \otimes |k\rangle)$



公開鍵 k



ビット列 y



$|y\rangle_3$ を Z 測定

選択 {アダムール}

X 基底で測定して



$U \equiv U_H U_T^\dagger$
 U をかけて
 $|b\rangle_1, |x\rangle_2$ を X 測定

X 基底結果 (b, d)

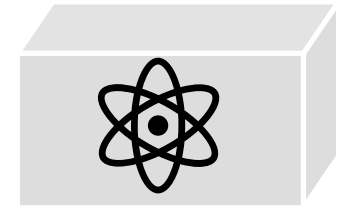


Trivial \hat{P} の定義

$h = Z \rightarrow k$ とトラップドア t_k を G から生成
 $h = X \rightarrow k$ とトラップドア t_k を F から生成

$P \Rightarrow$ 2つのユニタリ (U_0, U)
 で特徴づけられる

$P(U_0, U)$



$U_0(|e\rangle \otimes |k\rangle)$



公開鍵 k



ビット列 y



$|y\rangle_3$ を Z 測定

選択 {アダムール}

$|b\rangle_1$ への作用が Z 対角

X 基底で測定して



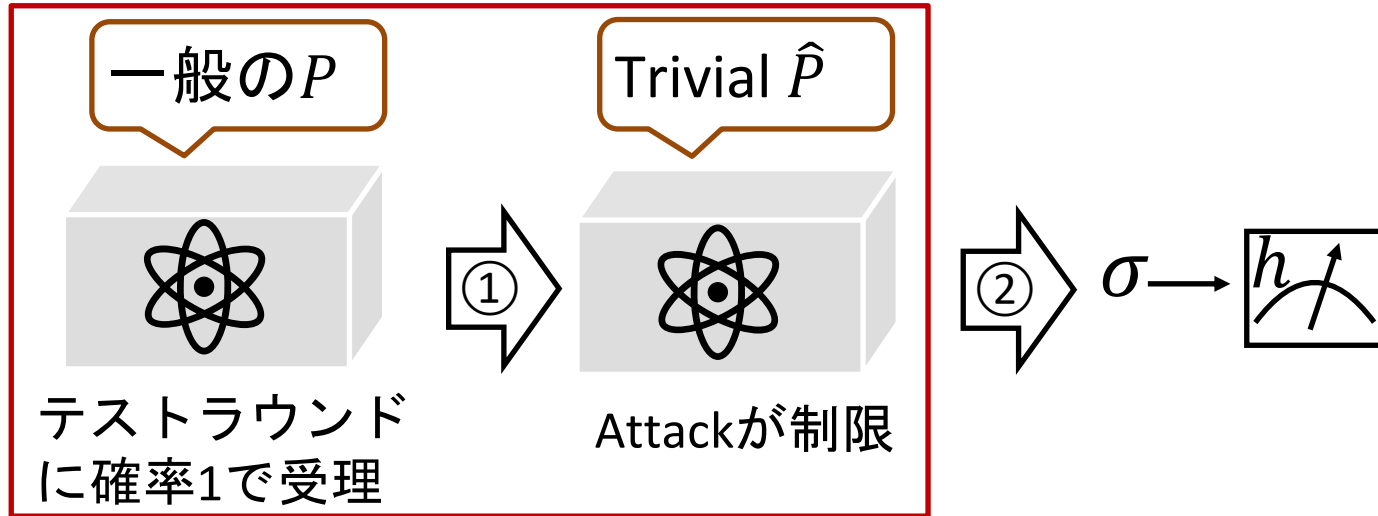
U をかけて

X 基底結果 (b, d)



$|b\rangle_1, |x\rangle_2$ を X 測定

Part 2の概略



$$D_{P,h} \approx D_{\hat{P},h} \approx D_{\sigma,h}$$

$$h \in \{Z, X\}$$

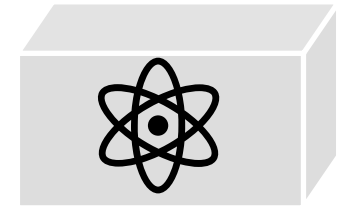
$D_{P,Z} = D_{\hat{P},Z}$ の証明 (ステップ①)

$$\forall U \text{ で } D_{P,Z} \text{ は等しい} \Rightarrow D_{P,Z} = D_{\hat{P},Z}$$

$h = Z \rightarrow k$ とトラップドア t_k を G から生成



公開鍵 k



$$U_0(|e\rangle \otimes |k\rangle)$$

ビット列 y

$|y\rangle_3$ を Z 測定

選択 {アダムール}

m への影響なし

X 基底で測定して

U をかけて

$|b\rangle_1, |x\rangle_2$ を X 測定

$(m, x) = INV_G(t_k, y)$
 m を Z 測定結果として出力

X 基底結果 (b, d)

$D_{P,X} \approx D_{\hat{P},X}$ の証明 (ステップ①)

$P(U_0, U)$ と $P(U_0, Z_1 U Z_1)$ で m の分布が識別不可

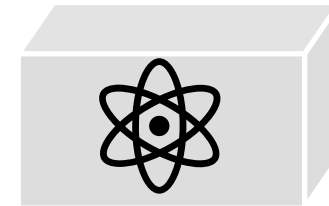
$\Rightarrow D_{P,X} \approx D_{\hat{P},X}$ (\because Twirling Lemma)



公開鍵 k



一般の P



$U_0(|e\rangle \otimes |k\rangle)$

ビット列 y



$|y\rangle_3$ を Z 測定

$$m = b \oplus d \cdot (x_0 \oplus x_1)$$

$$\begin{cases} x_0 = \text{INV}_F(t_k, 0, y) \\ x_1 = \text{INV}_F(t_k, 1, y) \end{cases}$$

を X 測定結果として出力

X 基底で測定して



U or $Z_1 U Z_1$

$|b\rangle_1$ と $|x\rangle_2$ を X 測定

X 基底結果 (b, d)

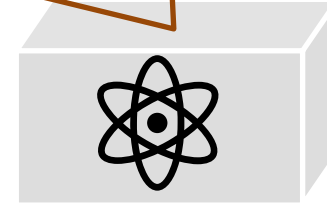
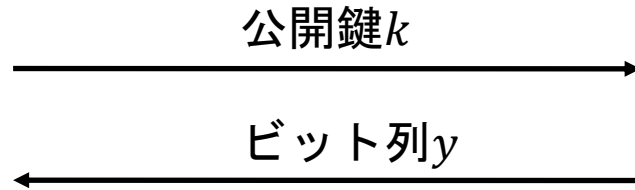


$D_{P,X} \approx D_{\hat{P},X}$ の証明 (ステップ①)

$P(U_0, U)$ と $P(U_0, Z_1 U Z_1)$ で m の分布が識別不可

$\Rightarrow D_{P,X} \approx D_{\hat{P},X}$ (\because Twirling Lemma)

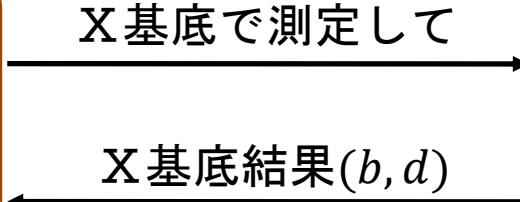
テストラウンドに必ず受理



$$\sum_{b=0,1} |b\rangle_1 |x_{b,y}\rangle_2 |\psi_{b,x_{b,y}}\rangle$$

y の正しい原像

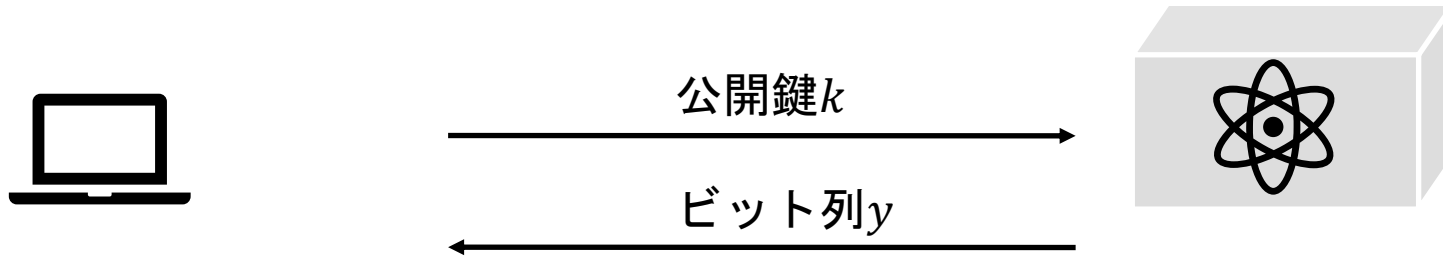
$m = b \oplus d \cdot (x_0 \oplus x_1)$
 $\begin{cases} x_0 = INV_F(t_k, 0, y) \\ x_1 = INV_F(t_k, 1, y) \end{cases}$
 を X 測定結果として出力



U or $Z_1 U Z_1$
 $|b\rangle_1$ と $|x\rangle_2$ を X 測定

$D_{P,X} \approx D_{\hat{P},X}$ の証明 (ステップ①)

$P(U_0, U)$ と $P(U_0, Z_1 U Z_1)$ で m の分布が識別可
 \Rightarrow **対角項** or **非対角項** が生成する分布が識別可
 \Rightarrow **LWE仮定に反する**

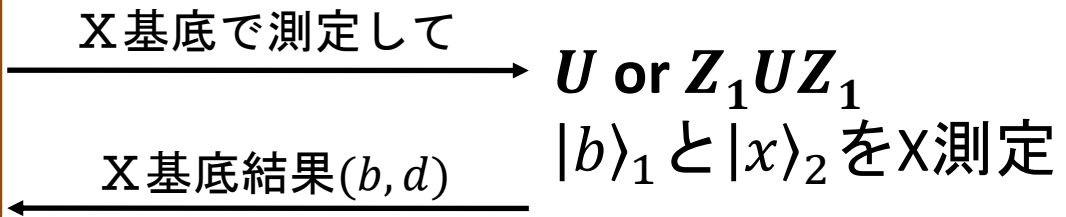


$$\sum_{b=0,1} |b\rangle_1 |x_{b,y}\rangle_2 |\psi_{b,x_{b,y}}\rangle$$

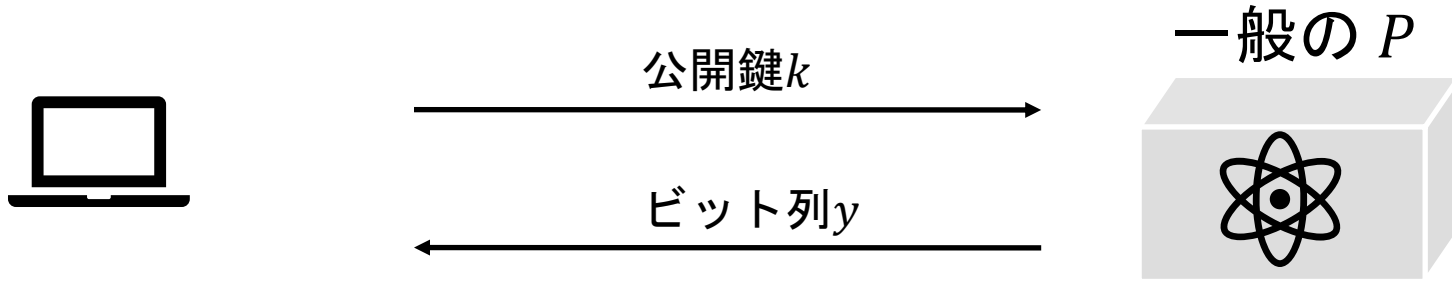
$$=: |\omega_y\rangle\langle\omega_y|$$

$$=: \rho_y^D + \rho_y^C$$

$m = b \oplus d \cdot (x_0 \oplus x_1)$
 $\begin{cases} x_0 = \text{INV}_F(t_k, 0, y) \\ x_1 = \text{INV}_F(t_k, 1, y) \end{cases}$
 を X 測定結果として出力



対角項分布が識別可 → AHB性1を破る



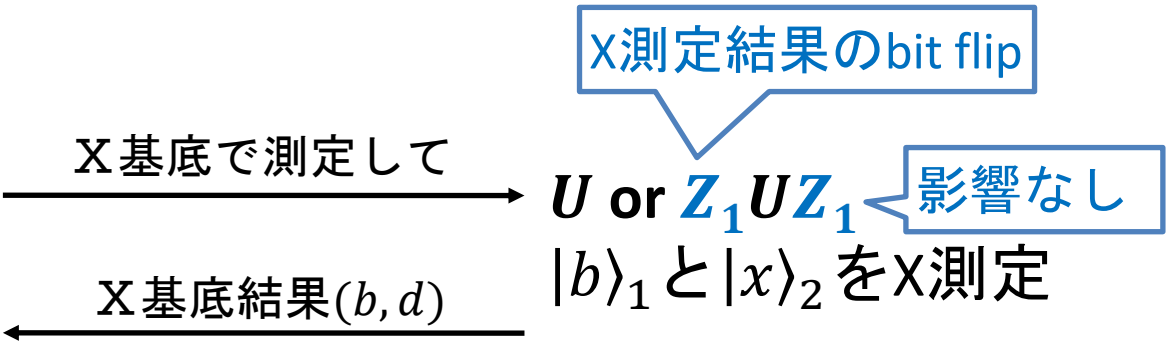
$|\omega_y\rangle$ を Z 測定 (b, x)

$$\rho_y^D = \sum_b |b, x_{b,y}, \psi_{b,x_{b,y}}\rangle \langle " |$$

$$m = b \oplus d \cdot (x_0 \oplus x_1)$$

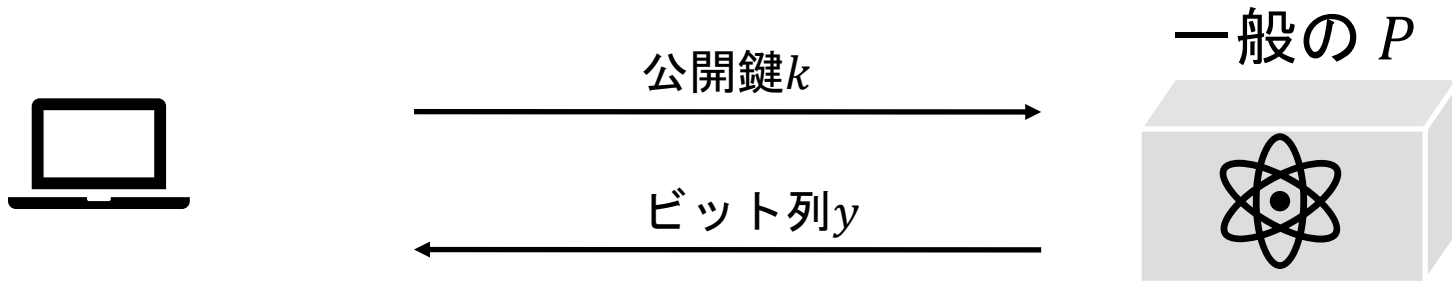
$$\begin{cases} x_0 = INV_F(t_k, 0, y) \\ x_1 = INV_F(t_k, 1, y) \end{cases}$$

を X 測定結果として出力



$$U: \sum_{m=0,1} P_U [m] |m\rangle \langle m| \xleftrightarrow[\text{の関係}]{\text{bit flip}} Z_1 U Z_1: \sum_{m=0,1} P_{Z_1 U Z_1} [m] |m\rangle \langle m|$$

対角項分布が識別可 → AHB性1を破る



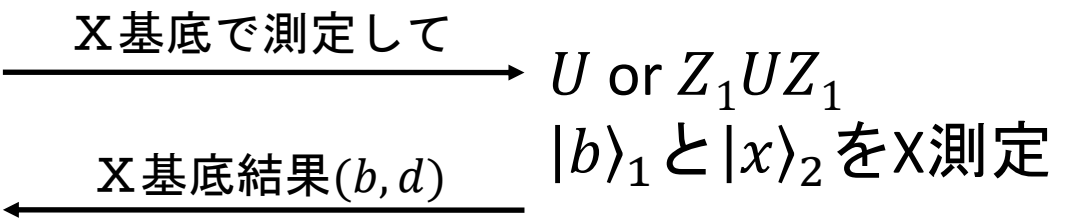
$|\omega_y\rangle$ を Z 測定 (b, x)

$$\rho_y^D = \sum_b |b, x_{b,y}, \psi_{b,x_{b,y}}\rangle \langle \cdot |$$

$$m = b \oplus d \cdot (x_0 \oplus x_1)$$

$$\begin{cases} x_0 = INV_F(t_k, 0, y) \\ x_1 = INV_F(t_k, 1, y) \end{cases}$$

を X 測定結果として出力



$\sum_m P_U [m] |m\rangle \langle m|$ と $\sum_m P_U [m \oplus 1] |m\rangle \langle m|$ が識別可

⇒ $d \cdot (x_0 \oplus x_1)$ が得られる

LWE仮定から関数族 F と G が構成可能

関数族 $F = \{f_{k,0}, f_{k,1}\}_k$

3. Adaptive hardcore ビット性1:

QPT P は公開鍵 k から

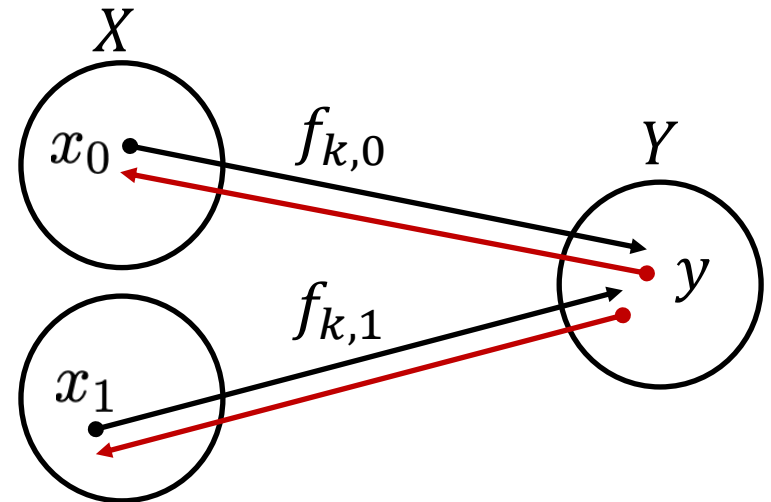
$(y, b, x_b, r, d \neq 0)$

を出力することが難しい.

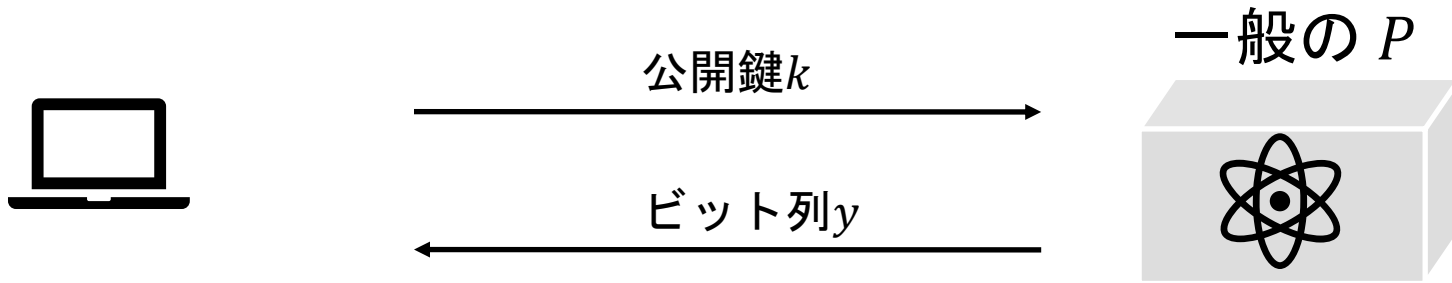
$y = f_{k,b}(x_b), r = d \cdot (x_0 \oplus x_1)$

Z測定結果

X測定結果

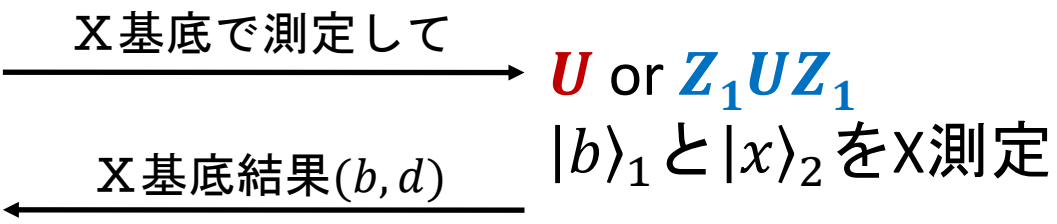


非対角項分布が識別可 → AHB性2を破る



$$\rho_y^C = \sum_{b=0,1} |b, x_{b,y}\rangle \langle b \oplus 1, x_{b \oplus 1,y} | \dots$$

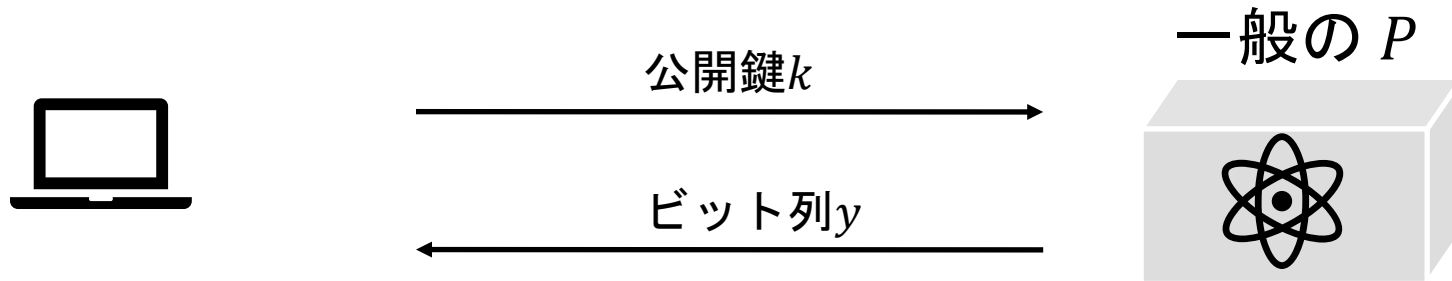
$m = b \oplus d \cdot (x_0 \oplus x_1)$
 $\begin{cases} x_0 = \text{INV}_F(t_k, 0, y) \\ x_1 = \text{INV}_F(t_k, 1, y) \end{cases}$
 を X 測定結果として出力



$$U: \sum_{m=0,1} P_U [m] |m\rangle \langle m|$$

$$Z_1 U Z_1: \sum_{m=0,1} P_{Z_1 U Z_1} [m] |m\rangle \langle m|$$

非対角項分布が識別可 → AHB性2を破る



非対角分布が識別可 ⇒ $\{|\omega_y\rangle, Z_1|\omega_y\rangle\}$ が識別可

A

効率的に作れる $Z_2^d|\omega_y\rangle$

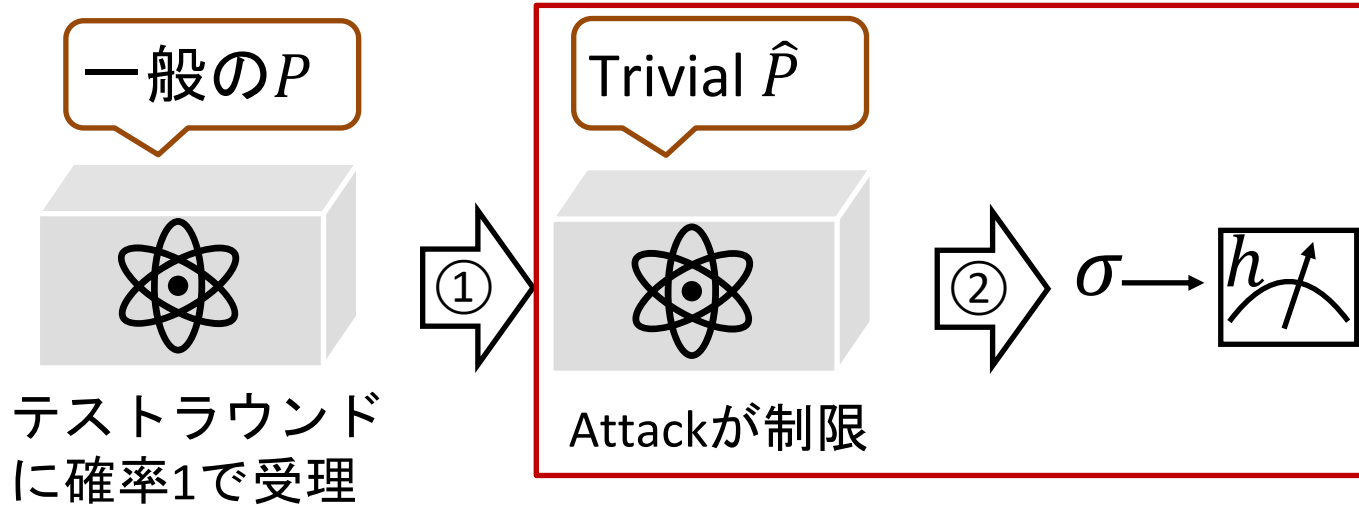
$$= Z_1^{d \cdot (x_0 \oplus x_1)} |\omega_y\rangle$$

A

A'

A' が選んだ d に対する $d \cdot (x_0 \oplus x_1)$ が求まる
[= AHB性2を破る]

Part 2の概略



$$D_{P,h} \approx D_{\hat{P},h} \approx D_{\sigma,h}$$

① 一般の P に対して Trivial \hat{P} が存在して $D_{P,h} \approx D_{\hat{P},h}$

② Trivial \hat{P} に対してある量子状態 σ が存在して $D_{\hat{P},h} \approx D_{\sigma,h}$

Trivial $\hat{P}, D_{\hat{P},h} \approx D_{\sigma,h}$ の証明 (ステップ②)

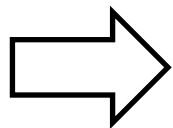
$\hat{P}(U_0, U)$ に対応する状態 σ の構成 (**h無依存**)

$h = Z$ なら不要

1. 関数族 F から (公開鍵 k , トラップドア t_k) を生成
2. ユニタリ U_0 を作用、 $|y\rangle_3$ を Z 測定、 U を作用
3. 原像レジスタ $|x\rangle_2$ を X 測定し、 d を得る
4. トラップドアを用いて $Z^{d \cdot (x_0 \oplus x_1)}$ を $|b\rangle_1$ に作用
5. 量子ビット $|b\rangle_1$ 以外を捨てる

$h = Z$ なら不要

$h = Z$ なら不要



$D_{\sigma,X} = D_{\hat{P},X}$ [証明終]

∴ 4. は V の bit flip $[\oplus d \cdot (x_0 \oplus x_1)]$ をシミュレート

$D_{\sigma,Z} \approx D_{\hat{P},Z}$ を2つの状態を介して示す

$$D_{\sigma,Z} = D_{\sigma_Z^{(1)},Z} \approx D_{\sigma_Z^{(2)},Z} = D_{\hat{P},Z}$$

$\hat{P}(U_0, U)$ に対応する状態 $\sigma_Z^{(1)}$ の構成

1. 関数族 F から (公開鍵 k , トラップドア t_k) を生成.
 t_k を捨てる
2. ユニタリ U_0 を作用、 $|y\rangle_3$ を Z 測定、 U を作用
3. 量子ビット $|b\rangle_1$ 以外を捨てる

$D_{\sigma,Z} \approx D_{\hat{P},Z}$ を2つの状態を介して示す

$$D_{\sigma,Z} = D_{\sigma_Z^{(1)},Z} \approx D_{\sigma_Z^{(2)},Z} = D_{\hat{P},Z}$$

$\hat{P}(U_0, U)$ に対応する状態 $\sigma_Z^{(2)}$ の構成

1. 関数族 G から (公開鍵 k , トラップドア t_k) を生成.
 t_k を捨てる
2. ユニタリ U_0 を作用、 $|y\rangle_3$ を Z 測定、 U を作用
3. 量子ビット $|b\rangle_1$ 以外を捨てる

$D_{\sigma,Z} \approx D_{\hat{P},Z}$ を2つの状態を介して示す

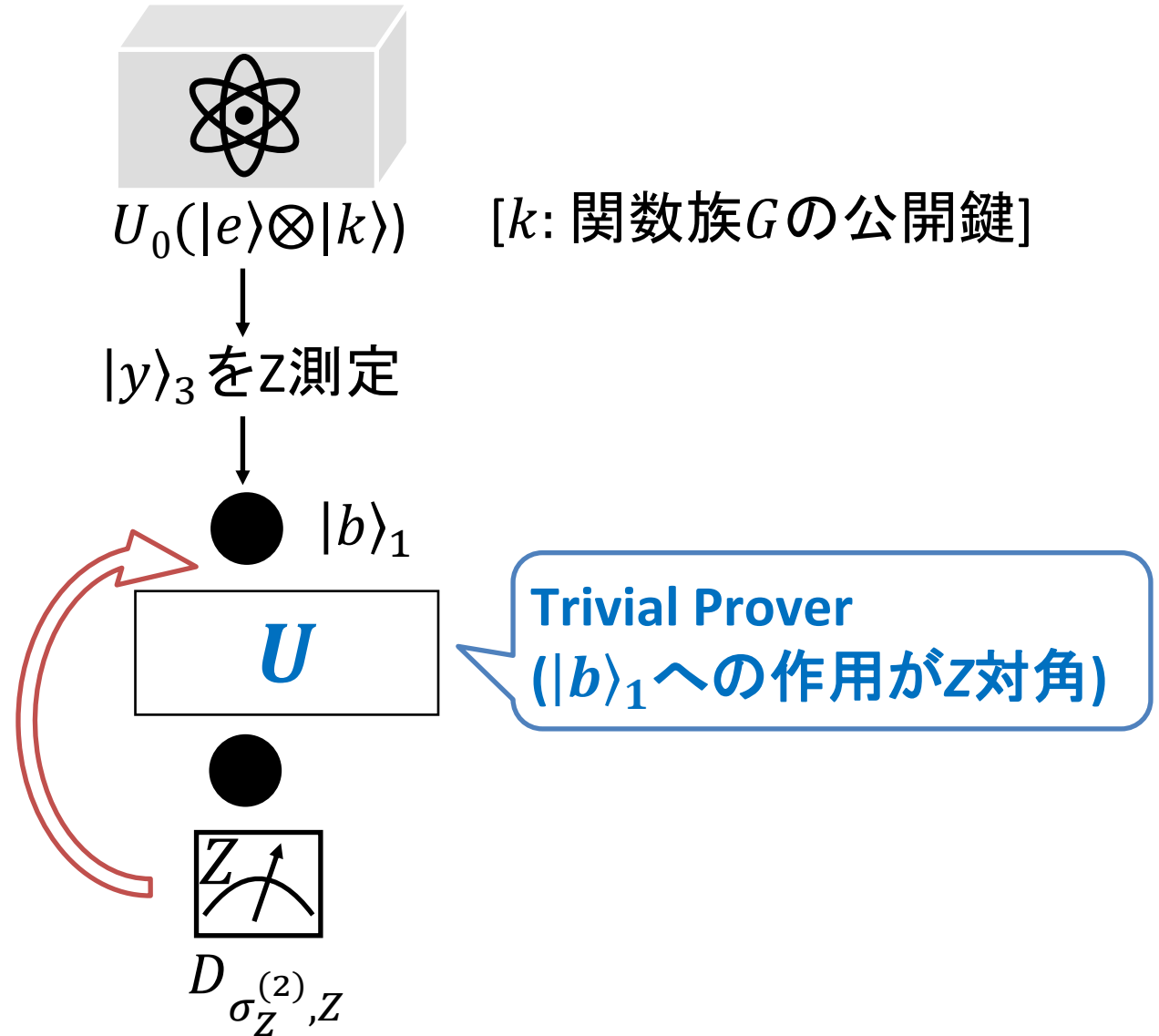
$$D_{\sigma,Z} = D_{\sigma_Z^{(1)},Z} \approx D_{\sigma_Z^{(2)},Z} = D_{\hat{P},Z}$$

(対偶証明)

k (F or G) 入力の QPT 操作で F or G が識別可
 \Rightarrow TCF 関数の Injective invariance に反する

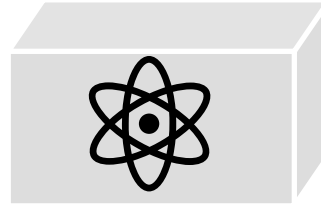
Trivial \hat{P} , $D_{\hat{P},h} \approx D_{\sigma,h}$ の証明 (ステップ②)

$\sigma_Z^{(2)}$ の構成



Trivial \hat{P} , $D_{\hat{P},h} \approx D_{\sigma,h}$ の証明 (ステップ②)

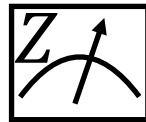
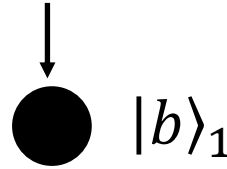
$\sigma_Z^{(2)}$ の構成



$$U_0(|e\rangle \otimes |k\rangle)$$

[k : 関数族 G の公開鍵]

↓
 $|y\rangle_3$ を Z 測定



$$D_{\sigma_Z^{(2)}, Z}$$

$y \in Y_0$ か $y \in Y_1$
 かを正しく出力

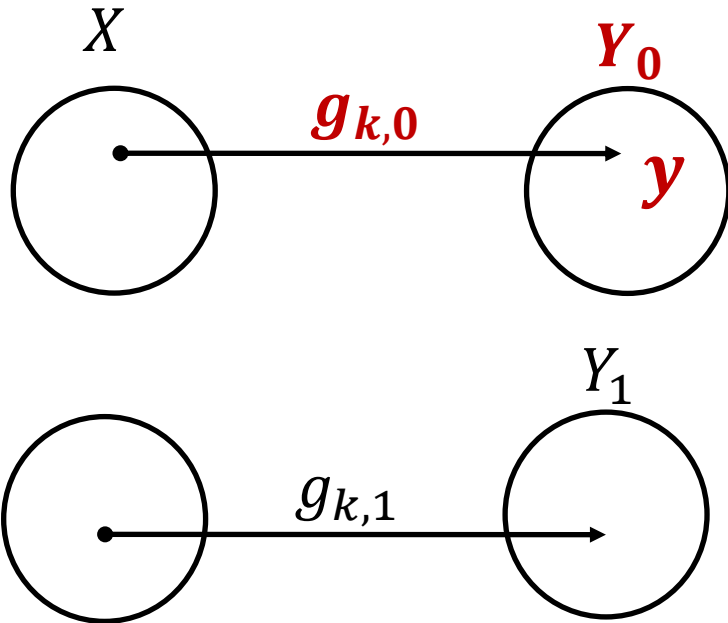
↓
 $INV_G(t_k, y)$
 と同じ結果

↓
 v の出力 m と同じ

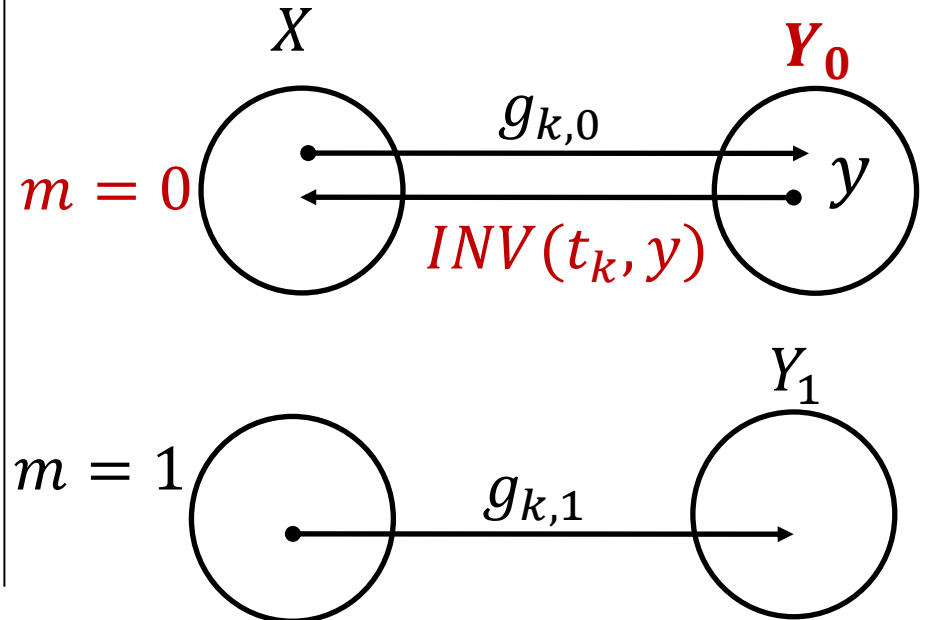
$$D_{\hat{P}, Z}$$

関数族 $G = \{g_{k,0}, g_{k,1}\}_k$

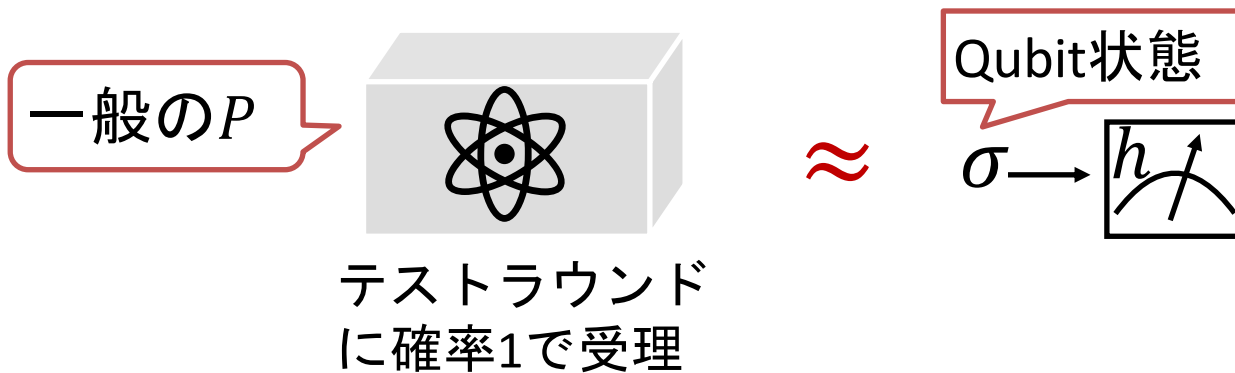
$\sigma_Z^{(2)}$ でのz測定 : y が g_0 or g_1
を正しく知る
(テストラウンド確率1で受理
するPのため)



v の出力 m : t_k を使い g_0 or g_1
を知る



Measurement プロトコル



$$\exists \sigma, \forall h \in \{Z, X\}^n, D_{P,h} \approx D_{\sigma,h}$$

量子計算の古典検証

(Measurement + ポストホックプロトコル)

量子計算機の答えが正しい場合：

$$\Pr[V \text{ が } P \text{ を受理}] \geq 1 - \text{negl}$$

量子計算機の答えが正しくない場合：

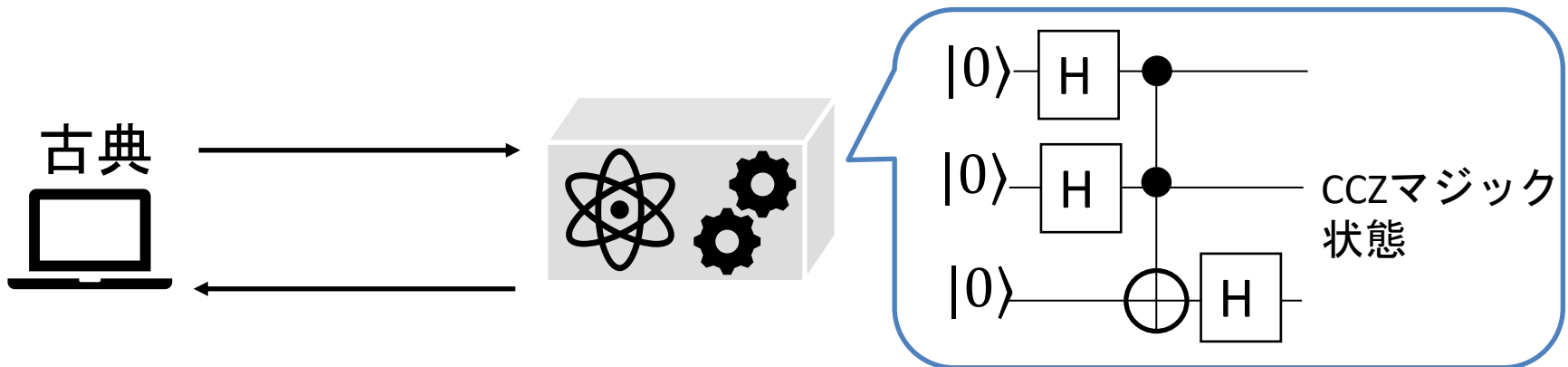
$$\Pr[V \text{ が } P \text{ を受理}] \leq \frac{1}{2} + \text{negl}$$

三菱電機とNTTの共同研究

Mizutani, Takeuchi, Hiromasa, Aikawa, Tani,
Physical Review A (Letter) **106**, L010601 (2022).

CCZマジック状態の生成・測定機能の古典検証

耐故障性量子計算機の実現に重要な機能



どれだけ複雑な量子ダイナミクス
を古典系で検証できるか？